

3
4
5
6
7
8
9

*
1 : 2 :
3 :

가

가
(6th International Rolling Conference, "Development of shape control in plate rolling", Ohe, K., Kajiura, S., Simada, S., Mizuta, A., Morimoto, Y., Fujino, T., Anraku, K., pp. 78~85) 1

1 (2) (1) (masking) (2) (1) 3 (2) 4
, 5
가 가

가

가 가

가 가

가 가

6
1 (ST11) ; 1 (ST12 ~ ST14)
; 2 가 가 2 3 (ST15) ; 가 가

4 (ST16 ~ ST19) ; 가

5

1

가 가
가

1 (1)

(wiper)가

(2)

(3)

가

(1)

(2)

3

(2a)

6

1)

가

2)

3)

가

:

:

:

1

1

가

(Finite Difference Method, FDM),

가

(Finite Element Method, FEM),

가

1

1

가

가

가

가

가

, 가

가

가

가

,

7

, 8

가 가
가

가

가

1

7

가

가

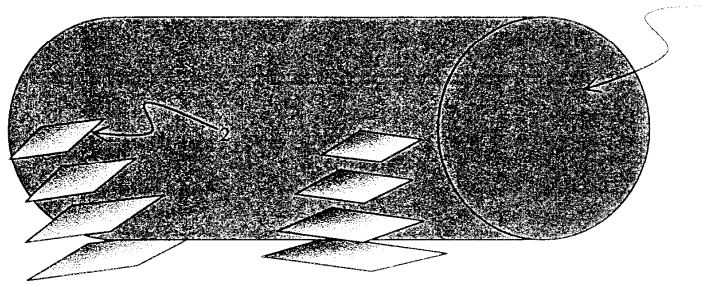
가

가 .

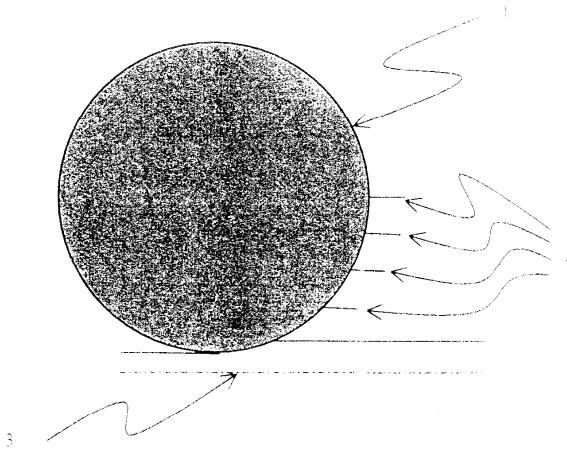
(57)

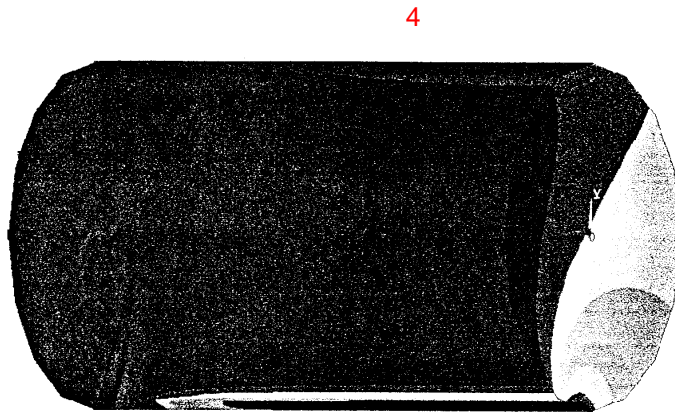
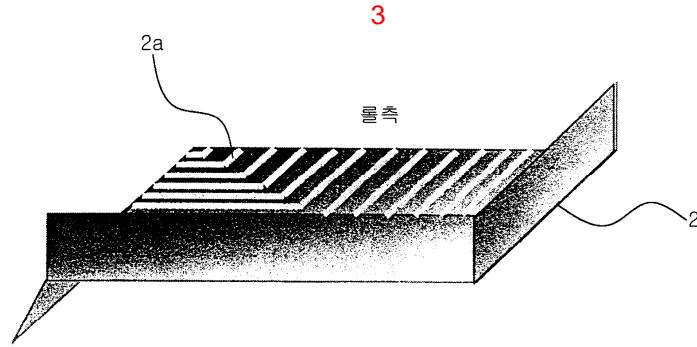
1. 1 ;
 1 ;
 2 ; 가 3 ; 가 2
 가 가 , 가 가 5
 가 4 ;
 가 ,

1

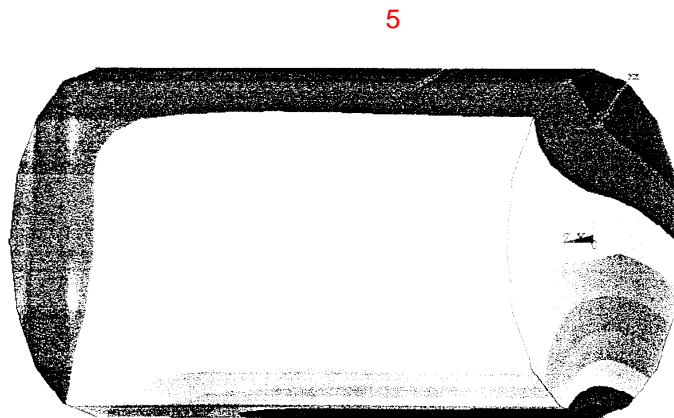


2



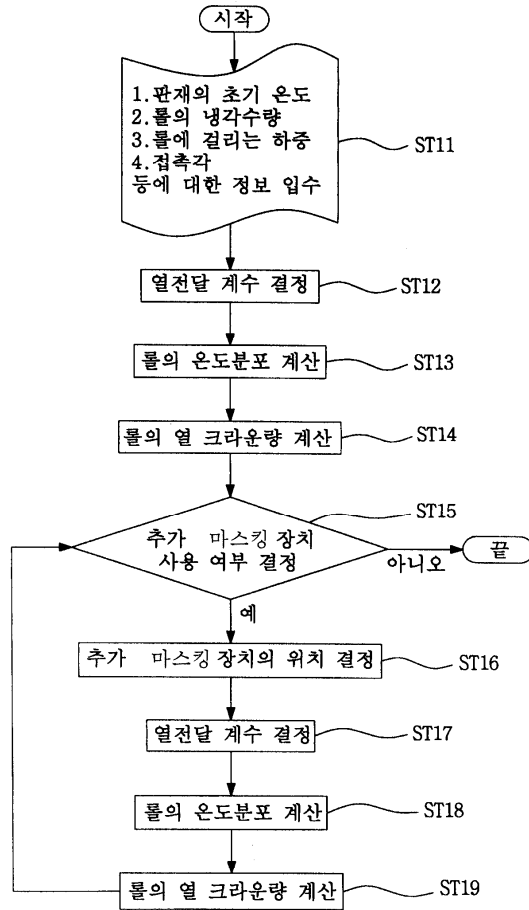


██████████	15.689
██████████	55.007
██████████	94.126
██████████	133.244
██████████	172.362
██████████	211.480
██████████	250.598
██████████	289.716
██████████	328.834
██████████	367.952

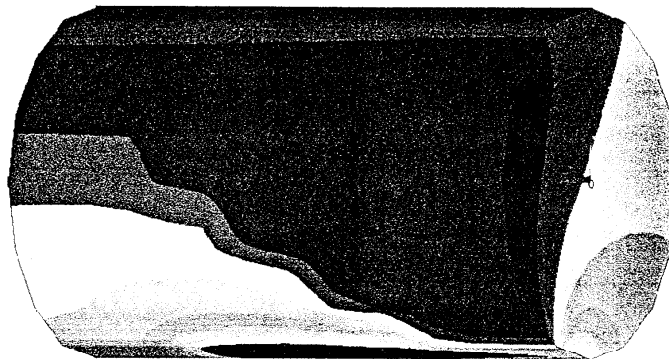


██████████	1.089E+01
██████████	1.747E+01
██████████	1.605E+02
██████████	1.463E+03
██████████	1.321E+04
██████████	1.179E+05
██████████	1.368E+06
██████████	1.05E+07
██████████	1.047E+08
██████████	1.89E+09

6

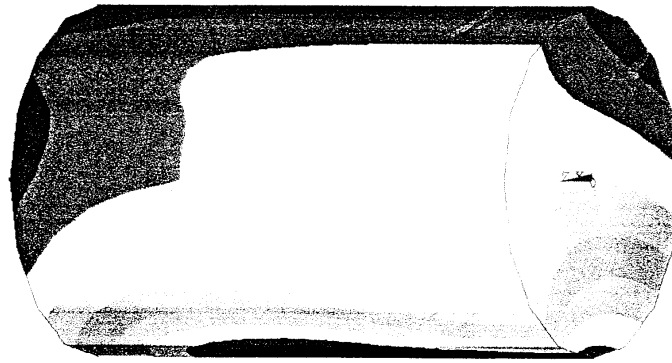


7



17	235
75	475
129	524
185	565
241	934
298	162
354	271
410	44
466	62
522	779

8



9

열 크라운 분포

— 기존 물 --- 에지 마스크

